

## اثر غلظت‌های مختلف مورفین بر فرا رشد نوریتی القا شده توسط

### استوروسپورین در سلول‌های PC12

حسین زاله<sup>\*</sup>, صهیری آزادبخت<sup>\*</sup>, علی بیدمشکی پور<sup>\*</sup>, سید محمدامین حرمشاهی<sup>\*</sup>, موسی کهریزی<sup>\*</sup> M.Sc.

گروه زیست‌شناسی دانشکده علوم پایه دانشگاه رازی، کرمانشاه، ایران

تاریخ دریافت: آذر ماه ۹۰ تاریخ پذیرش: بهمن ماه ۹۰

#### چکیده

هدف: اثر غلظت‌های مختلف مورفین بر فرا رشد نوریتی القا شده توسط استوروسپورین در سلول‌های PC12 بررسی شد.

مواد و روش‌ها: سلول‌های PC12 در محیط کشت RPMI1640 همراه با ۰/۲ درصد BSA کشت داده شدند. سلول‌ها به سه گروه I, II و III کشت در حضور غلظت‌های ۵۰, ۱۰۰ و ۲۱۴ نانومولار استوروسپورین تقسیم شدند. در هر گروه سلول‌ها در تیمارهای مختلف با غلظت‌های (تیمار ۱: ۱۰<sup>-۱۲</sup>, تیمار ۲: ۱۰<sup>-۱۰</sup>, تیمار ۳: ۱۰<sup>-۸</sup>, تیمار ۴: ۱۰<sup>-۶</sup>, تیمار ۵: ۱۰<sup>-۴</sup> و تیمار ۶: ۱۰<sup>-۲</sup>) مولار مورفین تیمار شدند. میزان سیتو توکسیسیتی از طریق اندازه‌گیری لakkات دهیدروژناناز، میزان مرگ سلول‌ها از طریق رنگ‌آمیزی افتراقی Hoechst/PI و متوسط طول نوریت‌ها با استفاده از اندازه‌گیری طول کل نوریت‌ها در سلول‌های بررسی شد.

یافته‌ها: ارزیابی میزان سیتو توکسیسیتی و مرگ سلولی در هر سه گروه نشان داد که میزان سیتو توکسیسیتی و مرگ سلولی سلول‌ها در تیمارهای ۴ و ۵ در مقایسه با تیمار ۶ بیشتر و در تیمارهای ۱ و ۲ در مقایسه با تیمار ۶ کمتر بود ( $p < 0.05$ ). نتایج اندازه‌گیری متوسط طول بلندترین نوریت‌ها نشان داد که متوسط طول بلندترین نوریت‌ها در تیمارهای ۱ و ۲ گروه III و متوسط طول کوتاه‌ترین نوریت‌ها در تیمارهای ۴ و ۵ گروه I وجود دارد ( $p < 0.05$ ). مطالعه مهارکننده رسبتورهای اپیوییدی نشان داد که نالتروکسان منجر به برگشت آثار مورفین می‌شود ( $p < 0.05$ ).

نتیجه‌گیری: نتایج بررسی حاضر پیشنهاد می‌کند که مورفین در دوزهای پایین منجر به بهبود فرا رشد نوریتی القا شده برگشت پذیر و کوتاه اثر توسط استوروسپورین در سلول‌های PC12 می‌شود.

کلید واژه‌ها: مورفین، استوروسپورین، فرارشد نوریتی، PC12

#### مقدمه

که استوروسپورین باعث القای مرگ سلولی برنامه ریزی شده (Apoptosis) در انواع سلول‌ها از جمله سلول‌های عصبی می‌شود [1]. علاوه بر این نشان داده شده است که تیمار

استوروسپورین یک آلالوئید است که از محیط کشت Streptomyces stauroporesa جدا سازی می‌شود و مهارکننده قوی پروتئین کیناز C محسوب می‌شود. نشان داده شده است

آدرس مکاتبه: کرمانشاه، خیابان باغ ابریشم، دانشگاه رازی، دانشکده علوم پایه، ۷۷۱۴۹۶۷۳۴۶  
گروه زیست‌شناسی، کد پستی:

Email:azadbakht\_tmu@yahoo.com

این ماده بر تمایز عصبی القا شده توسط استوروسپورین در سلول‌های PC12 بررسی شد.

## مواد و اوششها

### کشت سلول‌های PC12

سلول‌های PC12 از انستیتو پاستور ایران تهیه شد و در محیط کشت RPMI1640 همراه با ۰٪ درصد BSA، ۲mM L-Glutamine، Bovine Serum Albumin، NEAA و T-25 (Nonessential Amino Acids) درصد درون فلاسک ۱ درصد (NUNC) کشت داده شدند. پس از گذشت ۴۸ ساعت محیط کشت سلول‌ها با محیط کشت تازه تعویض شد. هنگامی که تراکم سلول‌های چسبیده به کف فلاسک به ۷۰ تا ۸۰ درصد رسید، پاساژ سلول‌ها با استفاده از محلول ۰/۲۵ درصد Trypsin-EDTA انجام شد.

### تمایز سلول‌های PC12

سلول‌ها با تراکم ۱۰<sup>۴</sup> سلول در میلی لیتر در محیط کشت RPMI حاوی ۰٪ درصد BSA و در ظروف کشت ۲۴ خانه به مدت ۱۲ ساعت در انکوپاتور با دمای ۳۷ درجه سانتی گراد و دی اکسید کربن ۵ درصد نگهداری شدند. سلول‌ها به دو دسته تقسیم شدند: در دسته اول سلول‌ها با مهارکننده نالتروکسان پیش تیمار نشدند و در دسته دوم سلول‌ها با مهارکننده نالتروکسان به مدت ۳۰ دقیقه پیش تیمار شدند. در هر دسته سلول‌ها به سه گروه تقسیم شدند. در هر گروه سلول‌ها در حضور غلظت خاصی از استوروسپورین شامل گروه I: ۵۰ نانومولار، گروه II: ۱۰۰ نانومولار و گروه III: ۲۱۴ نانومولار تیمار شدند. در هر گروه نیز سلول‌ها در تیمارهای مختلف با غلظت‌های مشخص مورفین شامل تیمار: ۱۰<sup>-۱۲</sup>، ۱۰<sup>-۱۱</sup>، تیمار: ۱۰<sup>-۱۰</sup>، تیمار: ۱۰<sup>-۹</sup>، تیمار: ۱۰<sup>-۸</sup>، تیمار: ۱۰<sup>-۶</sup>، تیمار: ۱۰<sup>-۴</sup>، تیمار: ۱۰<sup>-۳</sup>، تیمار: ۱۰<sup>-۲</sup> مولار مورفین و تیمار آ: بدون مورفین تیمار شدند. سلول‌ها در بازه‌های

سلول‌های RGC-5 با آنالوگ‌های استوروسپورین سبب بروز ظاهر نورونی در این سلول‌ها می‌شود [۲]. استوروسپورین وابسته به غلظت به کار برده شده آن دارای عملکردهای چندگانه است و رفتاری وابسته به غلظت دارد. غلظت‌های ۵۰ تا ۳۵۰ نانومولار آن سبب تمایز رده‌های سلولی در حال تقسیم به نورون‌های بالغ و غلظت ۱۰۰۰ نانومولار آن سبب ایجاد آپوپتوز در نورون‌ها می‌شود [۳] استوروسپورین در مقایسه با فاکتور رشد عصب (Nerve Growth Factor; NGF) بسیار سریع‌تر سبب تمایز سلول‌های عصبی و ایجاد نوریت‌های بلند در آنها می‌شود [۴]. با توجه به آثار دوگانه استوروسپورین در ایجاد تمایز یا آپوپتوز در سلول‌ها در استفاده از این ماده باید به دوز دقیق به کار رفته توجه داشت و از طرفی برای حذف آثار آپوپوتیک آن احتمالاً می‌توان از موادی که آثار ضد آپوپتوزی دارد استفاده کرد.

مورفین از جمله مواد مؤثر بر تمایز عصبی است. مورفین علاوه بر آثار ضد درد شناخته شده، در تکوین مغز، نوروزنر، تمایز سلولی و آپوپتوز نیز اثرگذار است [۴]. مورفین وابسته به غلظت به کار رفته دارای آثار مختلفی است. غلظت‌های بسیار پایین مورفین (1pM) فرا رشد نوریت‌ها را در سلول‌های PC12 در حضور فاکتور رشد عصبی (NGF) افزایش می‌دهد [۵]. مورفین در غلظت‌های بالا (1mM) افزایش طول نوریت‌ها را در سلول‌های PC12، نورون‌های هیپوكمپ، نورون‌های گرانول مخی و نورون‌های گانگلیون موجود در طناب پشتی جنبی مهار می‌کند [۶-۹].

از آنجا که تمایز القا شده توسط استوروسپورین پدیده‌ای قابل برگشت است و نیز با علم به اینکه این ماده بر سلول‌ها اثر آپوپوتیک دارد [۱۰]، می‌توان از خواص حفاظتی مورفین برای بهبود تمایز عصبی القا شده توسط استوروسپورین استفاده کرد. با توجه به آثار وابسته به غلظت مورفین به کار رفته در تمایز سلول‌های عصبی، در این مطالعه اثر غلظت‌های مختلف

محیط کشت سلول‌ها برداشته شده و با محلول PBS شستشو داده شدند. سپس سلول‌ها با محلول‌های تیماری و به صورت سه‌تایی به مدت ۲۴ ساعت مورد تیمار قرار گرفتند. پس از گذشت ۶، ۱۲ و ۲۴ ساعت پس از تیمار برای تعیین میزان تأثیر مواد بر میزان مرگ سلول‌ها، ابتدا سلول‌ها با PBS شسته شده و در مرحله اول به مدت ۳۰ دقیقه در محیط کشت حاوی بیس بنزآمید (۵ میکروگرم در میلی‌لیتر) قرار گرفتند. پس از نفوذ رنگ به داخل هسته سلول‌ها و اتصال با DNA، هسته سلول‌ها به رنگ آبی در آمد. سلول‌ها در PBS شستشو داده شدند. سپس سلول‌ها در مرحله دوم به مدت پنج دقیقه در محیط کشت حاوی پروپیدیوم یدید (۵۰ میکروگرم در میلی‌لیتر) قرار گرفتند. پس از این مرحله سلول‌ها توسط پارافرمالدهید ۰/۴ درصد به مدت ۱۰ دقیقه در دمای اتاق ثابت شدند. در این حالت سلول‌های نکروتیک به رنگ صورتی تیره و دارای ظاهر هسته‌ای غیر متراکم اما سلول‌های آپوپوتیک دارای ظاهر صورتی روشن و هسته‌های متراکم و قطعه قطعه هستند. آزمایش سه بار تکرار شد.

### ارزیابی میزان نوریت‌زاوی

یکی از بهترین مشخصه‌ها برای ارزیابی مورفولوژیکی سلول‌ها و میزان نوریت‌زاوی نورون‌ها اندازه‌گیری طول تمام نوریت‌های یک نورون (TNL: Total Neurit Length) با استفاده از شمارش Intersection‌ها است [۱۱]. بر اساس این روش طول بلندترین نوریت‌ها از جسم سلولی تا مخروط رشد در یک پس زمینه تعریف شده با خطوطی با فاصله‌های مشخص و شمارش تعداد نقاطی که نوریت خطوط افقی را قطع می‌کند اندازه‌گیری شد. سپس مجموع طول نوریت‌های یک نورون تعیین شد. برای هر تیمار طول نوریت‌ها در ۱۰۰ سلول پس از عکس‌برداری از نقاط تصادفی توسط میکروسکوپ معکوس مجهز به دوربین اندازه‌گیری شد. آزمایش سه بار تکرار شد.

زمانی ۶، ۱۲ و ۲۴ ساعت از لحظه میزان سیتوکسیسیتی، مرگ سلولی و میزان نوریت‌زاوی بررسی شدند. سلول‌های تیمار ۶ در هر گروه به عنوان سلول‌های کنترل در نظر گرفته شدند.

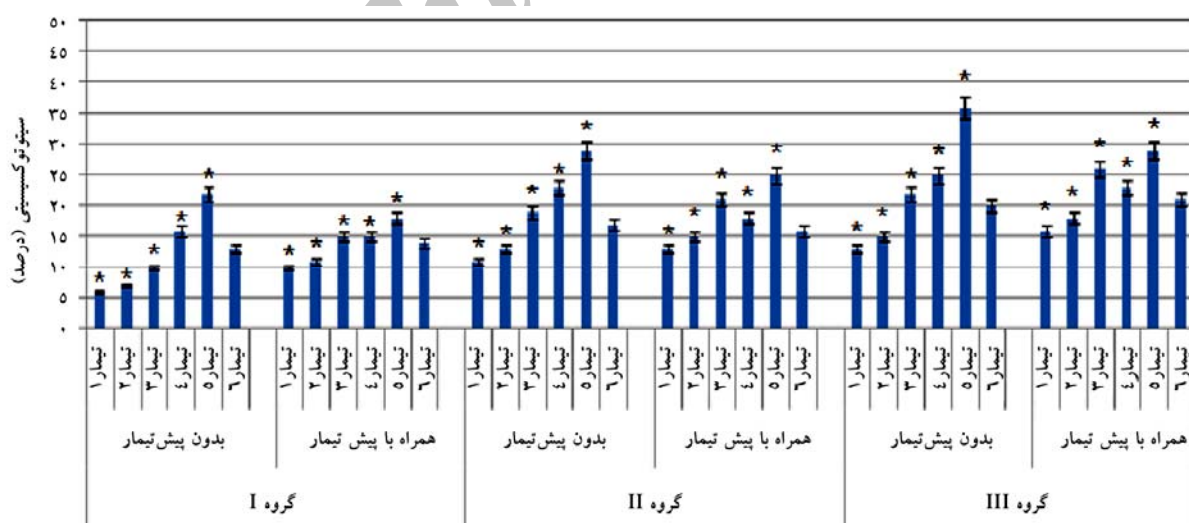
### ارزیابی میزان سیتوکسیسیتی سلول‌ها

سنچش سیتوکسیسیتی با استفاده از لاكتات دهیدروژناز (LDH) روشی سریع و ساده است که برای سنچش کمی سیتوکسیسیتی براساس اندازه‌گیری فعالیت آنزیم لاكتات دهیدروژناز آزاد شده از سلول‌های آسیب دیده مورد استفاده قرار می‌گیرد. سلول‌ها با تراکم  $10^4$  سلول در میلی‌لیتر در چاهک‌های ظرف کشت ۹۶ خانه در محیط کشت RPMI حاوی ۰/۲ درصد BSA کشت داده شدند. پس از آنکه سلول‌ها به تراکم مناسب رسیدند، محیط کشت سلول‌ها برداشته شده و سلول‌ها با محلول PBS شستشو داده شدند. سپس سلول‌ها در هر گروه با محلول‌های تیماری و به صورت سه‌تایی به مدت ۲۴ ساعت تیمار شدند. برای تعیین میزان سیتوکسیسیتی سلول‌ها، ۱۰۰ میکرولیتر از محیط رویی سلول‌ها با استفاده از سمپلر به یک ظرف کشت ۹۶ خانه جدید منتقل شد. برای آماده‌سازی مخلوط واکنش به تعداد ۱۰۰ آزمون، ۲۵۰ میکرولیتر از محلول کاتالیست با ۱۱/۲۵ میلی‌لیتر محلول رنگ مخلوط شد. ۱۰۰ میکرولیتر از مخلوط واکنش به هر چاهک اضافه شد و به مدت ۳۰ دقیقه در دمای اتاق و به دور از نور انکوبه شد. سپس جذب نمونه‌ها در طول موج ۴۹۰ تا ۵۰۰ نانومتر با استفاده از دستگاه ELISA reader خوانده شد. طول موج ۶۰۰ نانومتر به عنوان رفرنس انتخاب و آزمایش سه بار تکرار شد.

### ارزیابی میزان مرگ سلولی

بررسی مرگ سلولی در سلول‌ها با استفاده از رنگ‌های فلورئورسنس به روش افتراقی انجام شد [۹]. سلول‌ها با تراکم  $2 \times 10^5$  سلول در میلی‌لیتر در چاهک‌های ظرف کشت ۲۴ خانه در محیط کشت RPMI حاوی ۰/۲ درصد BSA کشت داده شدند. پس از آنکه سلول‌ها به تراکم مناسب رسیدند،

معنی دار و در تیمار ۵ نسبت به تیمار ۶ افزایش معنی دار نشان داد ( $p < 0.05$ ). نتایج نشان داد که بین دسته‌ها در تیمارهای ۱، ۲، ۳ و ۵ به لحاظ آماری اختلاف معنی دار وجود دارد ( $p < 0.05$ ). از طرفی نتایج به دست آمده از میزان سیتوکسیسیتی سلول‌هادر گروه II در دسته بدون پیش تیمار با نالتروکسان کاهش معنی داری در تیمارهای ۱ و ۲ و افزایش معنی داری در تیمارهای ۴ و ۵ در مقایسه با تیمار ۶ نشان داد و در تیمار ۱ نیز میزان سیتوکسیسیتی نسبت به تیمار ۶ به شکل معنی داری کاهش یافت و در تیمارهای ۳ و ۵ افزایش معنی داری در مقایسه با تیمار ۶ در دسته با پیش تیمار نالتروکسان مشاهده شد ( $p < 0.05$ ). در گروه III اختلاف معنی داری بین تیمارهای ۱ و ۲ به شکل کاهشی و تیمارهای ۴ و ۵ به شکل افزایشی در دسته بدون پیش تیمار نالتروکسان و در تیمارهای ۱ و ۲ به شکل کاهشی و در تیمارهای ۳ و ۵ به شکل افزایشی در دسته با پیش تیمار نالتروکسان در مقایسه با تیمار ۶ مشاهده شد ( $p < 0.05$ ). بررسی های آماری نشان داد که اختلاف آماری بین دسته‌ها در تیمارهای ۱، ۲، ۳ و ۵ معنی دار بود ( $p < 0.05$ ) (شکل ۱).



شکل ۱. سیتوکسیسیتی سلول‌های PC12 پس از ۲۴ ساعت تیمار با غلظت‌های مختلف مورفین.

گروه I، II و III: کشت در حضور غلظت‌های  $۵۰$ ،  $۱۰۰$  و  $۲۱۴$  نانومولار استوروسپورین تیمارهای  $۲، ۱، ۴، ۳، ۵$  و  $۶$ : تیمار با غلظت‌های  $۱۰^{-۱۲}$ ،  $۱۰^{-۸}$ ،  $۱۰^{-۶}$ ،  $۱۰^{-۴}$  و  $۱۰^{-۰}$  مولار مورفین ستون‌هایی که با نماد \* مشخص شده دارای اختلاف معنی دار با تیمار ۶ است (آزمون ANOVA و  $p < 0.05$ ).

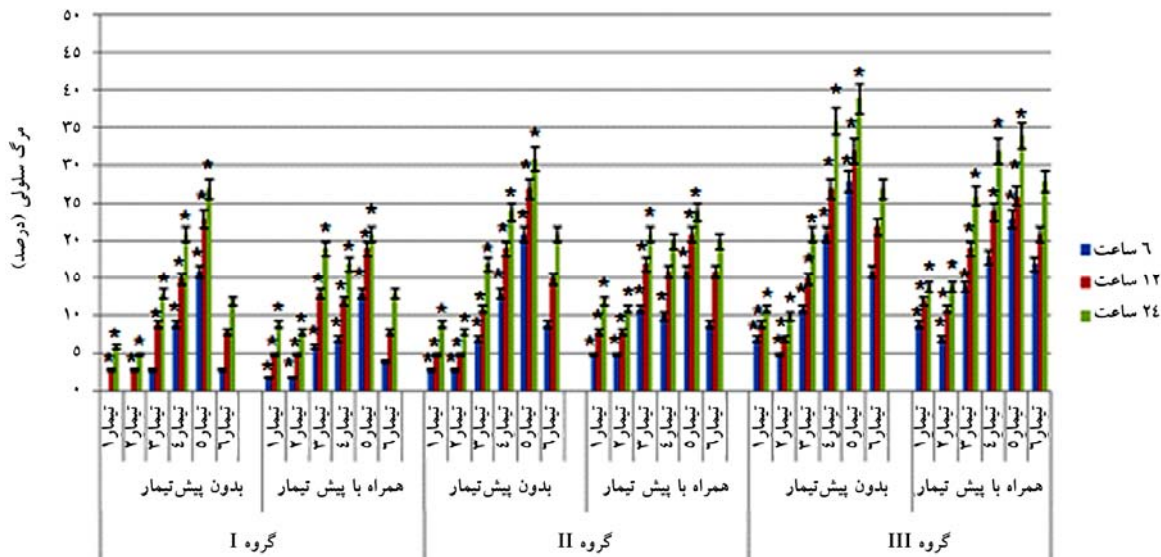
## روش‌های آماری

برای بررسی و آنالیز آماری داده‌های حاصل از ارزیابی میزان سیتوکسیسیتی، میزان مرگ سلولی و نوریتازایی به صورت میانگین و انحراف از خطای میانگین، از نرم افزار آماری SPSS نسخه ۱۶ استفاده شد. بررسی معنی دار بودن اختلاف بین گروه‌ها با استفاده از آنالیز واریانس یک طرفه (One-Way ANOVA) و آزمون Tukey انجام شد. برای رسم نمودارها از برنامه EXCEL استفاده شد و سطح معنی دار بودن داده‌ها نیز در سطح ۹۵ درصد مشخص شد.

## یافته‌ها

### سیتوکسیسیتی سلول‌های

نتایج به دست آمده از آزمون سیتوکسیسیتی سلول‌های PC12 در گروه I نشان داد که در دسته بدون پیش تیمار با نالتروکسان، میزان سیتوکسیسیتی در تیمارهای ۱ و ۲ نسبت به تیمار ۶ به طور معنی داری کاهش یافت در حالی که در تیمارهای ۴ و ۵ نسبت به تیمار ۶ به طور معنی داری افزایش یافت ( $p < 0.05$ ). در دسته پیش تیمار با نالتروکسان میزان سیتوکسیسیتی در تیمارهای ۱ و ۲ نسبت به تیمار ۶ کاهش



شکل ۲. مرگ سلوی سلول‌های PC12 پس از تیمار با غلظت‌های مختلف مورفین.

گروه I، II و III: کشت در حضور غلظت‌های  $۵۰$ ،  $۱۰۰$  و  $۲۱۴$  نانومولار استوروسپورین تیمارهای  $۱، ۲، ۴، ۳، ۵$  و  $۶$ : تیمار با غلظت‌های  $۱۰^{-۱۲}$ ،  $۱۰^{-۱۰}$ ،  $۱۰^{-۸}$ ،  $۱۰^{-۶}$  و  $۱۰^{-۴}$  مولار مورفین

ستون‌هایی که با نماد \* مشخص شده دارای اختلاف معنی دار با تیمار  $۶$  است (آزمون ANOVA و  $p < 0.05$ ).

داد که از لحاظ آماری افزایش TNL در تمامی تیمارهای TNL در دسته همراه با پیش تیمار نالتروکسان و دسته بدون پیش تیمار نالتروکسان معنی دار بوده و نیز اختلاف میان تیمارهای ۱ تا ۵ در بین دو دسته به جز در تیمار ۳ و ۶ از لحاظ آماری معنی دار بوده است ( $p < 0.05$ ). میزان TNL نورون‌ها در گروه II نشان داد که افزایش TNL در تیمارهای ۱ و ۲ و کاهش TNL در تیمارهای ۴ و ۵ از دسته بدون پیش تیمار نالتروکسان در مقایسه با تیمار ۶ معنی دار و از طرفی اختلافات میان تیمارهای ۳ و ۶ و تیمارهای ۱ و ۲ از لحاظ آماری معنی دار نبود. نتایج نشان داد که از لحاظ آماری افزایش TNL در تیمارهای ۱ و ۲ و کاهش TNL در تیمارهای ۴ و ۵ در دسته با پیش تیمار نالتروکسان در مقایسه با تیمار ۶ معنی دار و از طرفی اختلافات میان تیمارهای ۳ و ۶ و تیمارهای ۱ و ۲ از لحاظ آماری بی معنی بود. در گروه III افزایش TNL در تیمارهای ۱ تا ۳ و کاهش TNL در تیمارهای ۴ و ۵ از دسته بدون پیش تیمار نالتروکسان در مقایسه با تیمار ۶ معنی دار و از طرفی اختلافات میان تیمارهای ۱ و ۲ از لحاظ آماری معنی دار نبود. از لحاظ آماری افزایش TNL در تیمارهای ۱ و ۲ و کاهش TNL در تیمارهای ۴ و ۵ از دسته با پیش تیمار نالتروکسان در مقایسه با تیمار ۶ معنی دار بود

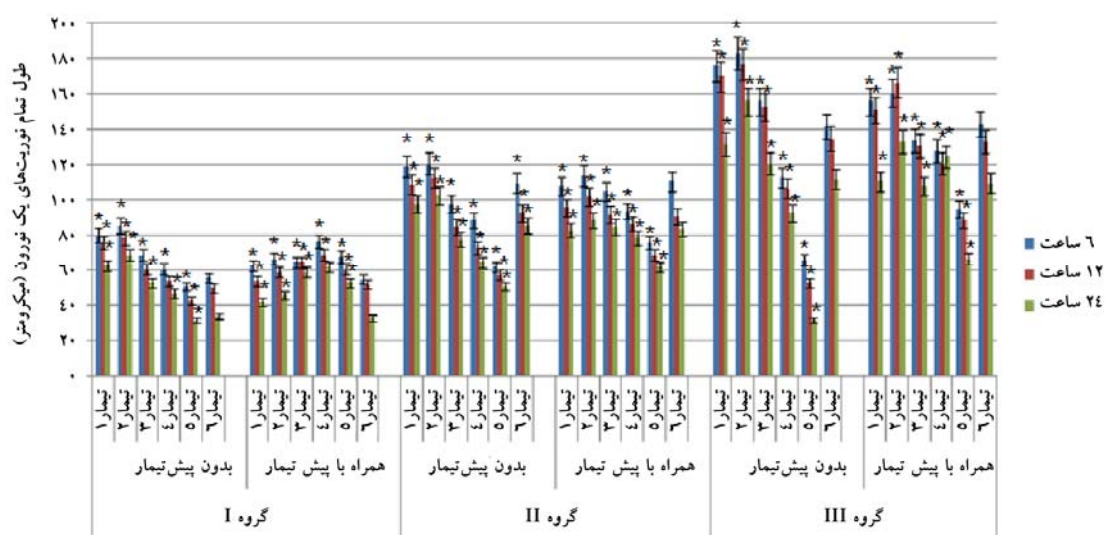
## مرگ سلوی

نتایج به دست آمده از بررسی میزان مرگ سلوی در دسته بدون پیش تیمار نالتروکسان نشان داد که مورفین در حضور غلظت‌های مختلف استوروسپورین در زمان‌های ۶، ۱۲ و ۲۴ ساعت پس از تیمار در تیمارهای ۱، ۲ و ۳ باعث کاهش معنی دار و در تیمارهای ۴ و ۵ باعث افزایش معنی دار در مقایسه با تیمار ۶ می‌شود. از طرفی در دسته پیش تیمار شده با نالتروکسان تیمارهای ۱ و ۲ کاهش معنی دار و تیمارهای ۳، ۴ و ۵ افزایش معنی داری را در در مقایسه با تیمار ۶ نشان دادند ( $p < 0.05$ ). اختلافات آماری بین دو دسته برای تیمارهای ۱ تا ۵ معنی دار بود ( $p < 0.05$ ) (شکل ۲).

## نوریت زایی سلوول‌ها

پس از گذشت ۶ ساعت از انجام آزمایش نتایج نشان داد که در گروه I افزایش TNL در تیمارهای ۱ تا ۳ و کاهش TNL در تیمارهای ۴ و ۵ از دسته بدون پیش تیمار نالتروکسان در مقایسه با تیمار ۶ معنی دار و از طرفی تمامی اختلافات میان تیمارها به شکل یک به یک از لحاظ آماری معنی دار بود ( $p < 0.05$ ). مشاهدات نشان

۱ و ۲ و کاهش TNL در تیمارهای ۴ و ۵ در دسته با پیش تیمار نالتروکسان در مقایسه با تیمار ۶ و نیز اختلاف میان تیمارهای ۱ تا ۵ میان دو گروه از لحاظ آماری معنی دار بود ( $p < 0.05$ ) (شکل ۳). پس از گذشت ۲۴ ساعت از انجام آزمایش اندازه‌گیری نورون‌ها در گروه I افزایش TNL در تیمارهای ۱ تا ۴ در مقایسه با تیمار ۶ معنی دار و کاهش TNL و از طرفی اختلافات میان تیمارهای ۱ و ۲، ۵ و ۶ و نیز اختلاف میان تیمارهای ۴ و ۶ از دسته بدون پیش تیمار نالتروکسان معنی دار نبود. از لحاظ آماری افزایش TNL در تیمارهای ۱ تا ۵ در دسته با پیش تیمار نالتروکسان در مقایسه با تیمار ۶ و نیز اختلاف میان تیمارهای ۱ تا ۵ میان دو دسته آماری معنی دار بود ( $p < 0.05$ ). میزان TNL نورون‌ها در گروه II نشان داد که افزایش TNL در تیمارهای ۱ و ۵ در مقایسه با تیمار ۶ معنی دار و کاهش TNL در تیمارهای ۳ تا ۵ در مقایسه با تیمار ۶ از دسته بدون پیش تیمار نالتروکسان از لحاظ آماری معنی دار بود ( $p < 0.05$ ). مشاهده شد که از لحاظ آماری افزایش TNL در گروه III در تیمار ۲ و کاهش آن در تیمار ۵ در دسته با پیش تیمار نالتروکسان در مقایسه با تیمار ۶ معنی دار است اما این اختلاف میان تیمارهای ۱ و ۲، ۳ و ۴ بی معنی و نیز اختلاف میان تیمارهای ۱ تا ۵ بین دو دسته آماری معنی دار بود ( $p < 0.05$ ). (شکل‌های ۳ و ۴).



شکل ۳. نوریت زایی سلول‌های PC12 پس از تیمار با غلظت‌های مختلف مورفین

گروه I و II و III: کشت در حضور غلظت‌های ۵۰، ۱۰۰ و ۲۱۴ نانومولار استوروسپورین تیمارهای ۱، ۲، ۳، ۴، ۵ و ۶: تیمار با غلظت‌های  $10^{-12}$ ،  $10^{-10}$ ،  $10^{-8}$ ،  $10^{-6}$ ،  $10^{-4}$  و  $10^{-2}$  مولار مورفین ستون‌هایی که با نماد ★ مشخص شده دارای اختلاف معنی دار با تیمار ۶ است (آزمون ANOVA و  $p < 0.05$ ).

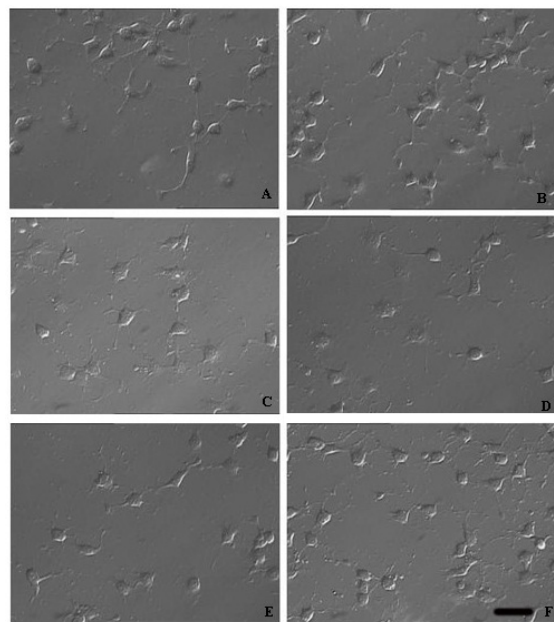
از طرفی اختلافات میان تیمارهای ۳ و ۶ و تیمارهای ۱ و ۲ از لحاظ آماری معنی دار نبود. پس از گذشت ۱۲ ساعت از انجام آزمایش نتایج نشان داد که در گروه I افزایش TNL در تیمارهای ۱ تا ۳ و کاهش TNL در تیمار ۵ از دسته بدون پیش تیمار نالتروکسان در مقایسه با تیمار ۶ معنی دار و از طرفی اختلافات میان تیمارهای ۱ و ۲ و نیز اختلاف میان تیمارهای ۴ و معنی دار نبود. نتایج نشان داد که از لحاظ آماری افزایش TNL در تیمارهای ۲ تا ۵ در دسته با پیش تیمار نالتروکسان در مقایسه با تیمار ۶ معنی دار بوده و نیز اختلاف میان تیمارهای ۱ تا ۵ به جز در تیمار ۳ از لحاظ میان دو دسته معنی دار بوده است ( $p < 0.05$ ). همچنین افزایش TNL در تیمار ۲ و کاهش TNL در تیمار ۵ در دسته با پیش تیمار نالتروکسان در مقایسه با تیمار ۶ معنی دار بود و اختلاف میان تیمار ۱ با تیمار ۲، و اختلاف بین تیمارهای ۳ و ۴ با تیمار ۶ معنی دار نبود. اختلاف میان تیمارهای ۲ تا ۵ میان دو دسته از لحاظ آماری معنی دار بود ( $p < 0.05$ ).

در گروه III در دسته بدون پیش تیمار میزان TNL در هر سه بازه زمانی در تیمارهای ۱، ۲ و ۳ نسبت به تیمار ۶ افزایش معنی دار و در تیمارهای ۴ و ۵ نسبت به تیمار ۶ کاهش معنی دار مشاهده شد ( $p < 0.05$ ). اختلاف میان تیمارهای ۱ و ۲ از لحاظ آماری معنی دار نبود. از لحاظ آماری افزایش TNL در تیمارهای

نوریتی گسترده در سلول‌های بنیادی جنینی تولید کند [۱۲]. علاوه بر این؛ تامپسون و لوین (Levin و Thompson) اخیرا نشان دادند که تیمار سلول‌های RGC-5 با آنالوگ‌های استوروسپورین سبب توقف تقسیم، بیان برخی کanal‌های یونی و شکل‌گیری ظاهر نورونی در این سلول‌ها می‌شود. تمایز با استوروسپورین تعجب برانگیز است چراکه این مهارکننده کیناز به عنوان القاگر آپوپتوز به کار می‌رود [۲]. اگرچه جزئیات مکانیسم فعالیت استوروسپورین به عنوان یک القاگر عصبی ناشناخته باقی مانده است به نظر می‌رسد که این ماده در فعال‌سازی برخی پروتئین کینازها که در فرارشد نوریتی مشارکت دارد همکاری می‌کند [۱۳]. استوروسپورین برای ایجاد زواید نوریتی بر خلاف NGF که در سطح رونویسی بیان ژن tau را افزایش می‌دهد، روی خود پروتئین اثر گذشته و از طریق مهار MAP-2 کیناز که باعث فسفریله کردن پروتئین tau و در نهایت مختل کردن فعالیت آن در پایداری میکروتوبولها و زواید نورونی می‌شود، فسفریلاسیون پروتئین tau را به میزان قابل توجهی کم کرده و به این ترتیب شرایط را برای اتصال مناسب پروتئین tau به میکروتوبولها و در نهایت ایجاد و پایداری زواید نوریتی فراهم می‌کند [۱۴ و ۱۵].

در این مطالعه از استوروسپورین به عنوان القاکننده تمایز عصبی و نیز از مورفین به منظور بالا بردن میزان بقا و افزایش طول نوریت‌ها در تمایز سلول‌های PC12 استفاده شد. نتایج متناقض بسیاری در مورد آثار مورفین بر تکثیر سلول‌های اجداد نورونی در ناحیه زیرگرانولی (SGZ: Sub-Granular Zone) که یکی از مراکز نوروژنیزیس در مغز پستانداران است، انتشار یافته که نشان دهنده پیچیدگی مکانیسم‌های دربرگیرنده آن است [۱۶].

بررسی‌های ریخت شناختی سلول‌های تحت تیمار با



شکل ۴. اثر مورفین در حضور غلظت ۱۲۴ انانومولار استوروسپورین بر میزان نوریت‌زایی در سلول‌های PC-12 A، B، C، D، E، F. غلظت‌های  $10^{-12}$ ،  $10^{-10}$ ،  $10^{-8}$ ،  $10^{-6}$ ،  $10^{-4}$  و  $10^{-2}$  مولار مورفین، بار: ۵۰ میکرومتر

## بحث

در این تحقیق پس از تمایز سلول‌های PC12 به نورون‌های بالغ توسط استوروسپورین همراه با غلظت‌های مختلف مورفین، مورفولوژی، میزان سیتو توکسیستی و مرگ سلولی در سلول‌ها ارزیابی شد.

استوروسپورین مهارکننده طیف وسیعی از پروتئین کینازهاست که در برخی اعمال فیزیولوژیکی از جمله نوروژنیز و آپوپتوز دخالت دارد [۴]. استوروسپورین قادر به القای فرارشد نوریت‌ها در لاین‌های سلولی نوروبلاستومای موش است [۱۰]. همچنین مطالعه شاماچر (Schumacher) و همکاران در سال ۲۰۰۳ نشان داد که استفاده از استوروسپورین به عنوان یک ماده نوروتروفیک در غلظت‌های پایین، می‌تواند نوریت‌های آکسون مانند بلندی را با شبکه‌های

بررسی فعالیت مهار کننده رسپتورهای اپیوییدی (نالتروکسان) نشان داد که با پیش تیمار سلول‌ها توسط این مهارکننده، آثار مختلف مورفین نسبت به شرایط بدون مهارکننده در غلظت‌های مختلف کاملاً مهار می‌شود که نشان می‌دهد آثار مورفین در محیط کشت وابسته به تحریک و فعالیت رسپتورهای اپیوییدی است [۱۷]. بررسی‌های انجام شده درباره اثر مورفین در شرایط *in vitro* در مدل‌های سلولی کشت شده شامل نورون‌ها و میکروگلیاهای سلول‌های ریوی و حتی سلول‌های سرطانی همگی به نقش تخریبی غلظت‌های بالا و مصرف حاد مورفین بر القای مرگ سلولی یا نکروز در این جمعیت‌ها تأکید دارند [۱۸ و ۱۹].

از طرفی نشان داده شده است که مورفین یک عامل حفاظت کننده در برابر استرس‌های اکسیداتیو داخل سلولی در لاین سلولی نوروبلاستومای انسانی، آپوپتوز القا شده توسط peroxy nitrite در آستروسویت‌های اولیه نوزاد موش صحرایی و مرگ سلولی القا شده توسط  $\beta$ -آمیلویید در سلول‌های HTB-11 نوروبلاستوما است [۲۰-۲۲]. مورفین حفاظت نورونی وابسته به رسپتورهای اپیوییدی را علیه ایسکمی در موش صحرایی القا می‌کند و مرگ سلولی ایجاد شده توسط ایسکمی را در نواحی CA1 هیپوکمپ کاهش می‌دهد [۲۳]. در بررسی که در سال ۲۰۰۸ توسط چن (Chen) و همکارانش روی نورون‌های اولیه از مغز موش صحرایی تازه متولد شده صورت گرفت، مشخص شد که تیمار با مورفین در حضور استوروسپورین، سطح 70 heat shock protein (HSP70) که یک مولکول chaperone القا شده در پاسخ استرسی است را کاهش می‌دهد [۱۷].

در غلظت‌های بالا ( $10^{-10}$  میکرومولار تا  $10^{-4}$  میلی مولار) مورفین رشد زواید نورونی را در کشت‌های اولیه نورون‌های گرانول مخچه‌ای و هیپوکمپ، در یک مدل وابسته به

غلظت‌های مورد استفاده مورفین همراه با غلظت‌های مختلف استوروسپورین به مدت ۲۴ ساعت نشان داد، علاوه بر آن که در تمامی غلظت‌های استوروسپورین به تنها یی یا همراه با مورفین غالب سلول‌ها تمایز یافته و ظاهر تکامل یافته نورونی را از خود بروز می‌دهند، اما غلظت‌های  $10^{-10}$  و  $10^{-4}$  مولار مورفین به ترتیب در حضور غلظت‌های  $10^{-5}$  و  $10^{-6}$  مولار نانومولار استوروسپورین ایجاد کمترین و بیشترین فعالیت سیتو توکسیسیتی و القای مرگ سلولی را در مقایسه با غلظت‌های دیگر و نیز در مقایسه با گروه کنترل (استوروسپورین به تنها یی) ایجاد کرده است. از طرف دیگر؛ مطالعات افزایش طول نوریت نشان داده است که در غلظت‌های مذکور ( $10^{-10}$  و  $10^{-4}$  مولار مورفین) به ترتیب بیشترین و کمترین طول نوریت در هر سه گروه همراه استوروسپورین مشاهده می‌شود و در مقایسه با گروه کنترل بدون مورفین (استوروسپورین به تنها یی) دارای افزایش و کاهش معنی‌داری در طول نوریت هستنده البته این میزان تغییرات در افزایش طول نوریت در گروه همراه با غلظت  $10^{-4}$  نانومولار استوروسپورین در مقایسه با سایر غلظت‌های استوروسپورین دارای روند تشدید یافته و در کاهش طول نوریت نیز دارای روند تخفیف یافته‌ای در مقایسه با سایر غلظت‌های استوروسپورین است. سلول‌ها در غلظت  $10^{-4}$  مولار مورفین در مقایسه با سایر غلظت‌های مورفین دارای ظاهری آسیب دیده بودند که این مسئله می‌تواند دلیلی بر پروآپوپتیک بودن این غلظت که هم در مقالات به آن اشاره شده و هم بررسی‌های آپوپتیکی تحقیق حاضر آن را تأیید کرده، باشد. گفتنی است که این غلظت در مقایسه با گروه کنترل دارای سطح پایداری سلولی پایین‌تر و از نظر فعالیت سیتو توکسیسیتی و القای مرگ سلولی دارای سطح بالاتری بود که خود بیانگر نقش ناپایدارکننده این غلظت مورفین بود.

کوتاه اثر اما همراه با آثار تخریبی (سیتو توکسیستی و آپوپتوزیس) کمتر است. در حالی که در غلظت ۲۱۴ نانومولار استوروسپورین القای نوریت و تشکیل شبکه‌های عصبی قویتر و پایداری نوریت‌ها بیشتر است؛ گرچه به تبع افزایش غلظت استوروسپورین میزان مرگ هم بیشتر می‌شود اما تشکیل نوریت‌های پایدار و تولید شبکه‌های عصبی گستردۀ در محیط نشان از غلظت تمایزی مطلوب ۲۱۴ نانومولار دارد. در نهایت می‌توان نتیجه گرفت که غلظت ۱۰۰ پیکومولار مورفین به علت توانایی آن در افزایش طول نوریت‌ها، افزایش پایداری نوریت‌ها و کاهش گستردۀ آثار سیتو توکسیستی بهترین دوز تمایزی و در مقابل غلظت ۱۰۰ میکرومولار مورفین به علت کاهش طول نوریت، کاهش پایداری نوریت‌ها و افزایش سطح آپوپتوز و سیتو توکسیستی دوز سیتو توکسیک مورفین است.

این نتایج نشان می‌دهد که از مورفین می‌توان به عنوان یک عامل کمکی-حفظانه مؤثر در پروتکلهای القای تمایز عصبی در سلول‌های PC12 استفاده کرد.

## References

- Tamaoki T, Nomoto H, Takahashi I, Kato Y, Morimoto M, Tomita F.** Staurosporine, a potent inhibitor of phospholipid/Ca++-dependent protein kinase. *Biochem Biophys Res Commun* 1986; 135: 397-402.
- Thompson AF, Levin LA.** Neuronal differentiation by analogs of staurosporine. *Neurochem Int* 2010; 56: 554-60.
- Deshmukh M, Johnson EM.** Staurosporine induced neuronal death: multiple mechanisms and methodological implications. *Cell Death Differ* 2000; 7: 250-61.
- Rasouly D, Rahamim E, Lester D, Matsuda Y, Lazarovici P.** Staurosporine-induced neurite

الولکسان مهار می‌کند [۷]. در حالی که غلظت‌هایی از مورفین که در محدوده بین ۱۰ نانو مولار و ۱۰ پیکومولار قرار دارند، رشد زواید نورونی را در نورون‌های کورتکس و نخاع تا بیش از ۲۰ درصد افزایش می‌دهد، غلظت‌های پایین‌تر از ۱۰ پیکو مولار مورفین افزایش طول زواید نورونی را در لاین سلولی PC12 تحریک می‌کند [۲۴].

مطالعه حاضر نشان می‌دهد که افزایش غلظت استوروسپورین باعث افزایش میزان سیتو توکسیستی سلول‌های PC12 در دوره ۲۴ ساعته می‌شود اما مورفین در غلظت‌های کم باعث حفظ و بهبودی آثار مرگ سلولی و سیتو توکسیستی و در نهایت القای پایداری بیشتر نوریت‌ها در محیط کشت می‌شود. این در حالی است که این آثار مورفین در غلظت‌های بالا معکوس می‌شود. تمامی اثرهای مورفین وابسته به القای فعالیت رسپتورهای اپیوپیدی است. این مطالعه نشان می‌دهد که استوروسپورین در غلظت‌های کم در مقایسه با غلظت ۲۱۴ نانومولار قادر به تولید تمایز عصبی غیر پایدار برگشت پذیر و

outgrowth in PC12 cells is independent of protein kinase C inhibition. *Mol Pharmacol* 1992; 42: 35-43.

- Tenconi B, Lesma E, DiGiulio AM, Gorio A.** High opioid doses inhibit whereas low doses enhance neurogenesis in PC12 cells. *Dev Brain Res* 1996; 94: 175-81.
- Liu B, Qin L, Yan SN, Wilson BC, Liu Y, Hong JS.** Femtomolar concentrations of dynorphins protect rat mesencephalic dopaminergic neurons against inflammatory damage. *J Pharmacol Exp Ther* 2001; 298: 1133-41.
- Eisch AJ, Barro M, Schad CA, Self DW, Nestler EJ.** Opiates inhibit neurogenesis in the adult rat hippocampus. *Proc Natl Acad Sci USA* 2000; 97:

- 7579-84.
8. **Opanashuk LA, Hauser KF.** Opposing actions of the EGF family and opioids: heparin binding-epidermal growth factor (HB-EGF) protects mouse cerebellar neuroblasts against the antiproliferative effect of morphine. *Brain Res* 1998; 804: 87-94.
  9. **Sakaguchi M, Fujimori T, Satoh T, Satoh M, Takeuchi M, Matsumura E.** Effects of opioids on neuronal survival in culture of embryonic chick dorsal root ganglion neurons. *Neurosci Lett* 1999; 262: 17-20.
  10. **Prince JA, Oreland L.** Staurosporine differentiated human SHSY5Y neuroblastoma cultures exhibit transient apoptosis and trophic factor independence. *Brain Res Bull* 1997; 43: 515-23.
  11. **Rønn L, Ralets I, Hartz B, Bech M, Berezin A, Berezin V, et al.** A simple procedure for quantification of neurite outgrowth based on stereological principles. *J Neurosci Method* 2004; 100: 25-32.
  12. **Schumacher A, Arnhold S, Addicks K, Doerfler W.** Staurosporine is a potent activator of neuronal, glial, and "CNS stem cell-like" neurosphere differentiation in murine embryonic stem cells. *Mol Cell Neurosci* 2003; 23: 669-80.
  13. **Sanchez-Ramos JR, Sons S, Kamath SG, Zigova T, Willing A, Stedeford T, et al.** Expression of neural markers in human umbilical cord blood. *Exp Neurol* 2001; 171: 109-15.
  14. **Sadot E, Barg J, Rasouly D, Lazarovici P.** Short- and long-term mechanisms of tau regulation in PC12 cells. *J Cell Sci* 1995; 108: 2857-64.
  15. **Drubin DG., Feinstein SC., Shooter EM., Kirschner MW.** Nerve growth factor-induced neurite outgrowth in PC12 cells involves the coordinate induction of microtubule assembly and assembly-promoting factors. *J Cell Biol* 1985; 101: 1799-807.
  16. **Harburg GC, Hall FS, Harrist AV, Sora I, Uhl GR, Eisch AJ.** Knockout of the mu opioid receptor enhances the survival of adult-generated hippocampal granule cell neurons. *Neuroscience* 2007; 144: 77-87.
  17. **Chen Q, Cui J, Zhang Y, Yu LC.** Prolonged morphine application modulates Bax and Hsp70 levels in primary rat neurons. *Neurosci Lett* 2008; 441: 311-4.
  18. **Mao J, Sung B, Ji RR, Lim G.** Neuronal apoptosis associated with morphine tolerance: evidence for an opioid-induced neurotoxic mechanism. *J Neurosci* 2002; 22: 7650-61.
  19. **Yoshida A, Tokuyama S, Iwamura T, Ueda H.** Opioid analgesic-induced apoptosis and caspase-independent death in human lung carcinoma A549 cells. *Int J Mol Med* 2000; 6: 329-35.
  20. **Singhal PC, Reddy K, Franki N, Sanwal V, Gibbons N.** Morphine induces splenocyte apoptosis and enhanced mRNA expression of cathepsin-B. *Inflammation* 1997; 21: 609-17.
  21. **Rambhia S, Mantione KJ, Stefano GB, Cadet P.** Morphine modulation of the ubiquitin-proteasome complex is neuroprotective effects. *Neuroscie* 2005; 11: 386-96.
  22. **Kim MS, Cheong YP, So HS, Lee KM, Kim TY, Oh J, et al.** Protective effects of morphine in peroxynitrite-induced apoptosis of primary rat neonatal astrocytes: potential involvement of G protein and phosphatidylinositol 3-kinase (PI3 kinase). *Biochem Pharmacol* 2001; 61: 779-86.
  23. **Pak T, Cadet P, Mantione KJ, Stefano GB.** Morphine via nitric oxide modulates beta-amyloid metabolism: a novel protective mechanism for Alzheimer's disease. *Med Sci Monit* 2005; 11:

357-66.

24. Brailoiu E, Hoard J, Brailoiu GC, Chi M, Godbold R, Dun NJ. Ultra low concentrations of

morphine increase neurite outgrowth in cultured rat spinal cord and cerebral cortical neurons. Neurosci Lett 2004; 365: 10-13.

Archive of SID